

Prosiding
ANNUAL RESEARCH SEMINAR 2016
6 Desember 2016, Vol 2 No. 1

ISBN : 979-587-626-0 | UNSRI

<http://ars.ilkom.unsri.ac.id>

Visualisasi Serangan *Denial Of Service* Dengan *Clustering* Menggunakan *K-Means Algorithm*

Napsiah

Computer Engineering Department
Faculty of Computer Science
Sriwijaya University, Inderalaya 30662
South Sumatera Indonesia
09121001065@students.ilkom.unsri.ac.id

Deris Stiawan

Computer Engineering Department
Faculty of Computer Science
Sriwijaya University, Inderalaya 30662
South Sumatera Indonesia
deris@ unsri.ac.id

Ahmad Heryanto

Computer Engineering Department
Faculty of Computer Science
Sriwijaya University, Inderalaya 30662
South Sumatera Indonesia
hery@ unsri.ac.id

Abstrak—Visualisasi menjadi salah satu solusi dalam menampilkan serangan di network. Dengan memvisualisasikan serangan, akan lebih mudah dalam mengenali dan menyimpulkan pola dari gambar visual yang kompleks. Target serangan *DoS* bisa ditujukan ke berbagai bagian jaringan, bisa ke *routing*, *web*, *electronic mail* atau *server DNS* (*Domain Name System*). Tujuan dari serangan *DoS* membuat *server shutdown*, *reboot*, *crash* atau *not responding*. Pola serangan *DoS* pada dataset *ISCX* membentuk sebuah pola dimana banyaknya *IPhost* yang hanya meng-exploit ke satu *server*. *Snort* mendeteksi adanya serangan *DoS* pada dataset *ISCX testbed* 14 juni sebanyak 42 alert *HttpDoS attack*. Persentasi akurasi dari program *clustering* menggunakan algoritma *k-means* sebesar 97,83%, untuk *detection rate* nya sebesar 98,63%, dan *false alarm* dari program sebesar 0,02%. Sedangkan, nilai persentase akurasi dari *clustering* menggunakan algoritma *k-means* dengan *tool WEKA* sebesar 99,69%, *detection rate* 99,01% dan *false alarm* sebesar 3,70%.

Keywords— Visualisasi; *DoS*; *Clustering*; *K-means Algorithm*

I. PENDAHULUAN

Teknik serangan yang sering dilakukan oleh attacker dalam melumpuhkan sistem terbagi dalam beberapa macam, salah satu teknik serangan yang umum digunakan oleh *attacker* adalah *Denial of Service (DoS)*. Serangan *DoS* menghasilkan kerusakan yang sifatnya persisten, artinya kondisi *DoS* akan tetap terjadi walaupun *attacker* sudah berhenti menyerang, dan *server* akan kembali normal setelah di *re-start/reboot* [1]. Serangan *DoS* mudah untuk diimplementasi, akan tetapi sulit untuk mencegah dan melacaknya.

Pada penelitian [2], [3], [4], [5] membahas permasalahan terhadap visualisasi serangan secara otomatis menggunakan *parallel coordinate attack visualization (PCAV)*. Penelitian ini, mendekripsi serangan internet dalam skala besar yang tidak diketahui seperti *internet worms*, *DoS attack* dan aktifitas *network scanning*. *PCAV* menampilkan *traffic* jaringan pada bidang koordinat paralel menggunakan informasi seperti *source IP address*, *destination IP address*, *source port* dan *packet length*. Penelitian [2], [5] menjelaskan, bahwa setiap jenis serangan secara signifikan membentuk pola yang unik. Pada penelitian [6], melakukan penelitian terhadap serangan *DoS* dengan cara mengklasifikasikan serangan

menggunakan jaringan syaraf tiruan *LVQ* (*Learning Vector Quantization*), dengan menghasilkan tingkat keberhasilan yang tinggi untuk kondisi normal, *PING flood* dan *UDP flood*. Dengan demikian, penelitian akan difokuskan pada salah satu pendekatan yaitu *attack visualization* terhadap serangan *Denial of Service (DoS)* dengan *clustering* menggunakan *K-Means Algorithm*.

Dataset yang digunakan pada penelitian ini yaitu dataset (*Information Security Center of eXcellence*) *ISCX* yang dikembangkan oleh fakultas ilmu komputer, universitas *new Brunswick* dari tahun 2009 sampai tahun 2011. Kumpulan datasimulasi yang terdapat pada dataset *ISCX* adalah infiltrasi jaringan dari dalam, *HTTPDoS*, *DDoS* menggunakan *IRCbotnet*, dan *brute-force SSH*.

II. METODOLOGI PENELITIAN

A. Pengenalan Pola Paket Data

Langkah pertama dalam pengenalan pola paket data adalah menganalisa antara skenario serangan dari dataset dengan hasil *traceroute*. Selanjutnya, akan dibandingkan dengan program perhitungan paket data yang dominan disetiap baris paketnya. Program perhitungan paket data dilakukan secara *offline*, menggunakan dataset dalam format *csv* sebagai data inputan. Acuan perhitungan pada program berdasarkan daftar *features* yang terdapat pada dataset *ISCX* (tabel 1), dimana *features* ini diperoleh dari *extraction raw* paket data kedalam bentuk *csv*.

TABLE I. DAFTAR FEATURES DATASET *ISCX*

No	Nama Features	No	Nama Features
1	<i>appName</i>	11	<i>Source TCP flags</i>
2	<i>Total source bytes</i>	12	<i>Destination TCP flags</i>
3	<i>Total destination bytes</i>	13	<i>Source</i>
4	<i>total destination packet</i>	14	<i>Protocol name</i>
5	<i>Total source packet</i>	15	<i>Source port</i>
6	<i>Source payload as base 64</i>	16	<i>Destination</i>
7	<i>Source payload as base UTF</i>	17	<i>Destination port</i>
8	<i>Destination payload as base 64</i>	18	<i>Start date time</i>
9	<i>Destination payload as base UTF</i>	19	<i>Stop date time</i>
10	<i>Direction</i>		

Prosiding
ANNUAL RESEARCH SEMINAR 2016

6 Desember 2016, Vol 2 No. 1

ISBN : 979-587-626-0 | UNSRI

<http://ars.ilkom.unsri.ac.id>

B. Skenario Dataset ISCX

Dataset ISCX memiliki arsitektur jaringan testbed (gambar 1) yang terdiri dari 21 windows workstation yang saling berhubungan, dua mesin berbasis *linux Ubuntu* dan satu mesin diinstal *windows server 2003*. Tahapan dalam menghasilkan dataset ISCX terdiri dari empat elemen :

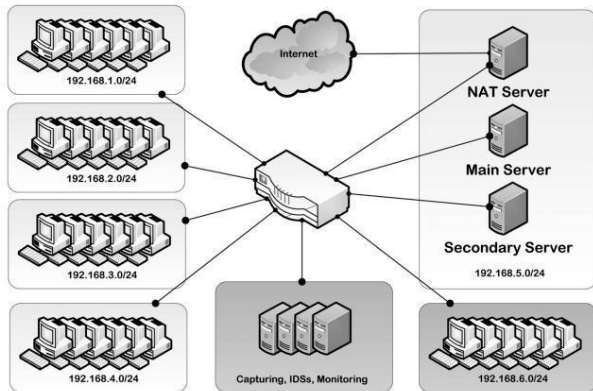
6. *Probe*, yang bertujuan untuk mengumpulkan informasi

7. *Identifikasi vulnerability*

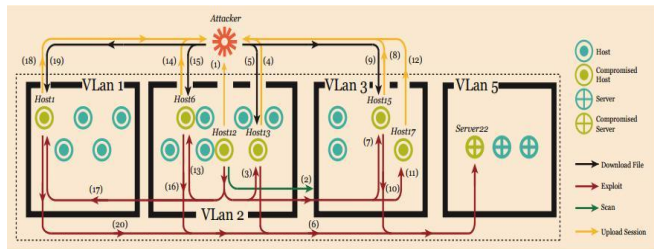
8. *Mempertahankan akses dengan menciptakan backdoors*

9. *Kemampuan untuk secara efektif menutupi jalur penyerangan.*

Dataset ISCX yang digunakan dalam penelitian ini adalah hasil testbed 14 juni yang merupakan serangan *HTTPDoS*. Skenario serangan *HTTPDoS* (gambar 2) dirancang tanpa membanjiri jaringan, sehingga *bandwidth* yang dibutuhkan rendah. ISCX memanfaatkan *slowloris* sebagai alat utama dalam skenario serangan *HTTPDoS*.



Gambar 1. Arsitektur Jaringan Testbed ISCX [7]



Gambar 2. Ilustrasi Skenario HTTPDoS Dataset ISCX [7], [8]

C. Perhitungan Paket Data Dominan

Pada tahapan pengenalan pola dari perhitungan paket data dominan menggunakan sebuah program yang akan melakukan *string matching* terhadap setiap paket data. Dari program ini dapat dilihat bagaimana pola paket normal dan pola paket serangan *DoS*. Berikut *pseudocode* programnya :

Pseudocode : Perhitungan Probability dari serangan Denial of Service (DoS) pada Dataset ISCX

Input : dl
Output : Banyaknya kemungkinan
HttpDoS attack

Step 1: Connect to Database
for dataset connect with
Microsoft Access
 $P \leftarrow \text{Microsoft.Jet.OLEDB.4.0}$
 $pc = p + ds + ep + E$
End for

$Od conn = new Od(pc)$

Step 2: proses data
if features= A
read dl
query $\leftarrow \text{SELECT}^*$
count(StartTime)as Jumlah from dl
where appName=HTTPWeb
groupBy features
orderBy count DESC
End if

Step 3: fill data gridview
 $ODA myDA = new ODA(query,conn)$ DT
 $dt \leftarrow \text{new } DT$
 $myDA.fill(dt)$ dG.DS = dt

D. Clustering K-Means Algorithm

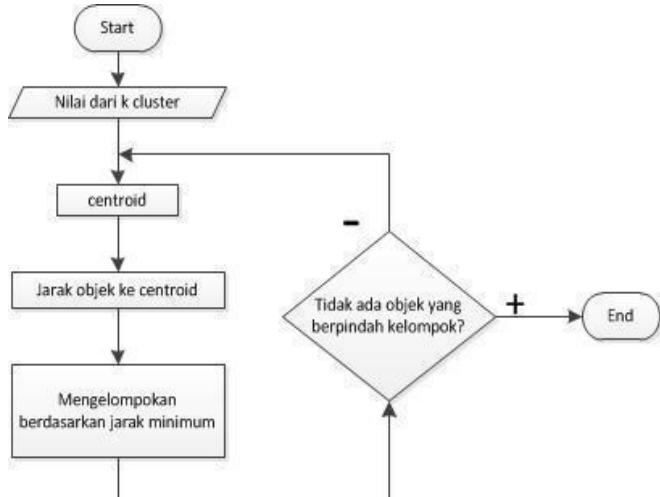
Langkah awal dari *k-means clustering* adalah menentukan nilai *k* sebagai jumlah *cluster* yang ingin dibentuk, kemudian mengasumsikan *k centroid* (titik pusat *cluster*) awal secara *random*. Langkah selanjutnya dari algoritma *k-means* yang harus dilakukan sampai objek benar-benar stabil (tidak ada objek yang berpindah kelompok) yaitu :

- 4 Menentukan koordinat *centroid*
- 5 Menentukan jarak dari masing-masing objek ke *centroid*
- 6 Mengelompokan objek berdasarkan jarak minimum (sampai menemukan *centroid* terdekat).

Prosiding
ANNUAL RESEARCH SEMINAR 2016
6 Desember 2016, Vol 2 No. 1

ISBN : 979-587-626-0 | UNSRI

<http://ars.ilkom.unsri.ac.id>



Gambar 3. Proses *Clustering K-means*

Dari pengolahan dataset ISCX 14 juni menggunakan program pengenalan pola paket data dominan, maka dari data tersebut diambil secara acak *centroid* awal untuk data normal dan data serangan sebagai pola dalam meng-*cluster* data pada algoritma *K-means*. Selanjutnya dilakukan perhitungan jarak antara paket satu dan paket lainnya menggunakan rumus *Euclidean distance* [9], [10]. Berikut pseudocode dari program *clustering* menggunakan algoritma *K-means* :

Pseudocode : Program clustering menggunakan algoritma k-means pada Dataset ISCX 14 juni

```

Input : F = {m1, m2, ..., mn} #dataset ISCX
       K = banyak cluster
       pola={p1, p2, ..., pn}
Output : dos = cluster attack
         normal = cluster normal
for pi ∈ pola do
  pi ← mi ∈ F
end
def kmeans do
  a (m1) ← sqrt (mn - pi)2 n ∈ {1...n}
  return a
end

def hitung centroid baru do
  h (m1) ← i/len (cluster)
  return h
end

centroidbaru ← none
cluster ← []
i77 ← none
while pola != centroidbaru
  i77+1
  i++
  for i in range (len(F))

```

```

for h in range (len(cluster_attack))
  for k in range(len(cluster_normal))
    jarak ← kmeans (mi, pj)
    if jarak = min(jarak) then
      cluster ← mi
    end
    polaupdate ← newcentroid(clusterattack)
    matrikattack ← polaupdate
    polaupdate ← newcentroid(clusternorm)
    matriknormal ← polaupdate
  end

```

Langkah berikutnya setelah melakukan *clustering* paket data adalah memvisualisasikan paket data tersebut kedalam dua *cluster* yaitu paket data *attack* dan paket data normal. Berikut pseudocode program visualisasinya :

*Pseudocode : Program visualisasi di Dataset ISCX
14 juni*

```

Input:F
       cluster
Output : plot
for cluster ∈ F do
  cluster ← F
  cluster=attack and cluster=normal
  Return plot
  Plot.show
end

```

III. HASIL DAN PEMBAHASAN

Visualisasi serangan DoS menggunakan clustering dengan algoritma k-mean diterapkan untuk mempermudah dalam mengenali pola serangan DoS. Sehingga, dengan cara memvisualisasikan akan lebih mudah dalam mengatasi serangan yang ada.

3.1. Pengujian Traceroute Dataset ISCX

Berikut gambar 4 akan menampilkan hasil dari *traceroute* dataset ISCX testbed 14 juni. Hasil dari *traceroute* padagambar 4 beikut menunjukan, bahwa skenario dataset ISCX :

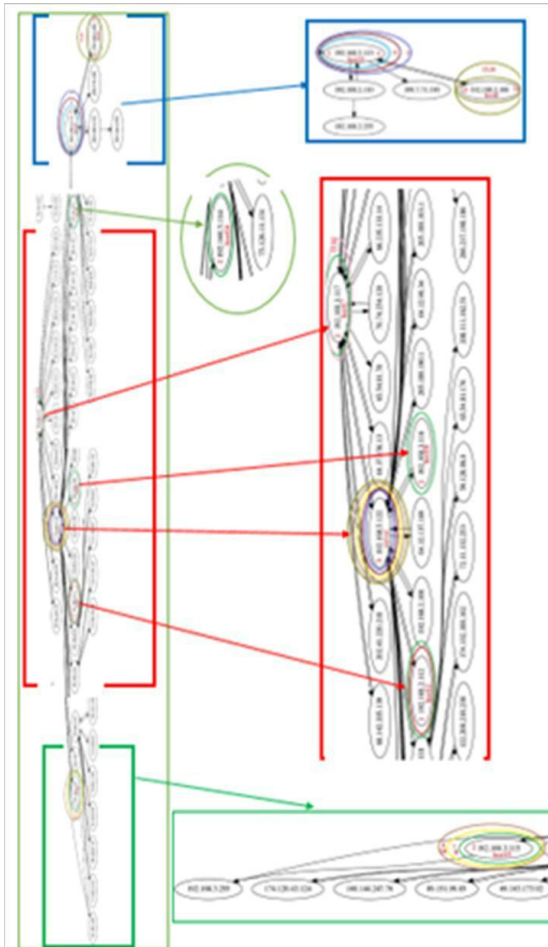
1. Dalam melakukan skenario serangan *HTTPDoS*, *attacker* memanfaatkan koneksi dari *host*
 - a. 192.168.2.112, 192.168.2.113, 192.168.3.115,
 - b. 192.168.3.117, 192.18.1.101 dan 192.18.2.106 yang bertindak sebagai penyerang untuk melakukan *exploitke IP server* 192.168.5.122 melalui backdoor.
2. Kemudian *attacker* melakukan koneksi dengan cara *upload session ke host*.

Prosiding
ANNUAL RESEARCH SEMINAR 2016
6 Desember 2016, Vol 2 No. 1

ISBN : 979-587-626-0 | UNSRI

<http://ars.ilkom.unsri.ac.id>

3. Selanjutnya host 192.168.2.112 melakukan scan terhadap host 192.168.2.113, 192.168.3.115 dan 192.168.3.117. Scan dilakukan untuk mengetahui vulnerability dari sistem agar dapat di exploit.
4. Setelah mengetahui vulnerability, maka attacker akan me-remote sistem yang kemudian dengan leluasa attacker dapat meng-exploit serangan ke sistem.
5. Dan setelah attacker melakukan serangan terhadap server, maka host yang telah digunakan oleh attacker akan men-download file mailicious dari remote server yang telah dikendalikan oleh attacker.



Gambar 4. Hasil Traceroute Dataset ISCX Testbed 14

B. Pengujian Program Perhitungan Paket Data Dominan

Dilihat dari hasil pengujian program perhitungan paket data yang dominan pada gambar 5 berikut, Pola baris paket data pada dataset ISCX mengacu pada karakteristik serangan Denial of Service [6], [7] :

- [1] *Attacker* memanfaatkan koneksi dari *IP source* sistem melalui backdoor untuk meng-exploit server.
- [2] *Port numbers* yang digunakan secara acak dari jumlah paket palsu.
- [3] Ukuran *window* dan *packet length* yang tetap selama serangan dilakukan.
- [4] *Flags* dalam *protocol TCP* dimanipulasi hanyamelakukan *SYN* dan *ACK*.
- [5] *HTTP requests* dibanjiri melalui port 80.

No.	Appliance	TestbedModule	Type	Destination	Source	Protocol	Sequence	Timestamp	Seq/Time	Flag	Actions
1	HTTPWax	320	256	4	S.A.	TCP	192.168.3.115	192.168.5.122	80	6/14/2010 17:42	Attack 101
2	HTTPWax	342	256	10	S.A.	TCP	192.168.3.115	192.168.5.122	80	6/14/2010 17:43	Attack 104
3	HTTPWax	343	256	6	S.A.	TCP	192.168.3.115	192.168.5.122	80	6/14/2010 17:43	Attack 105
4	HTTPWax	358	256	6	S.A.	TCP	192.168.3.115	192.168.5.122	80	6/14/2010 17:28	Attack 107
5	HTTPWax	344	128	1	S.A.	HTTP	192.168.2.109	192.168.5.122	80	6/14/2010 14:46	Normal 99
6	HTTPWax	351	128	1	S.A.	HTTP	192.168.2.109	192.168.5.122	80	6/14/2010 14:46	Normal 99
7	HTTPWax	384	0	6	S.A.	HTTP	192.168.2.113	192.168.5.122	80	6/14/2010 20:57	Normal 72
8	HTTPWax	392	256	4	S.A.	TCP	192.168.2.115	192.168.5.122	80	6/14/2010 17:28	Attack 76
9	HTTPWax	393	256	12	S.A.	TCP	192.168.2.115	192.168.5.122	80	6/14/2010 17:28	Attack 77
10	HTTPWax	318	1158	13	S.A.	TCP	192.168.3.115	192.168.5.122	80	6/14/2010 17:43	Attack 66
11	HTTPWax	128	64	1	S.A.	TCP	192.168.3.115	192.168.5.122	80	6/14/2010 20:55	Normal 50
12	HTTPWax	343	128	1	S.A.	TCP	192.168.2.113	192.168.5.122	80	6/14/2010 17:42	Attack 41
13	HTTPWax	242	128	2	S.A.	TCP	192.168.2.113	192.168.5.122	80	6/14/2010 17:28	Attack 45
14	HTTPWax	342	384	6	S.A.	TCP	192.168.2.115	192.168.5.122	80	6/14/2010 17:43	Attack 46
15	HTTPWax	243	256	1	S.A.	TCP	192.168.2.113	192.168.5.122	80	6/14/2010 17:28	Attack 47
16	HTTPWax	358	385	6	S.A.	TCP	192.168.2.113	192.168.5.122	80	6/14/2010 17:28	Attack 48
17	HTTPWax	1042	512	8	S.A.	TCP	192.168.2.115	192.168.5.122	80	6/14/2010 17:43	Attack 49
18	HTTPWax	128	128	1	S.A.	TCP	192.168.2.113	192.168.5.122	80	6/14/2010 17:43	Attack 50
19	HTTPWax	64	128	2	S.A.	TCP	192.168.2.113	192.168.5.122	80	6/14/2010 17:33	Normal 40
20	HTTPWax	240	128	1	S.A.	TCP	192.168.2.113	192.168.5.122	80	6/14/2010 17:43	Attack 29
21	HTTPWax	243	256	1	S.A.	TCP	192.168.2.113	192.168.5.122	80	6/14/2010 17:28	Attack 30
22	HTTPWax	414	1128	0	S.F.P.A.	HTTP	131.222.240.178	192.168.5.122	80	6/14/2010 14:48	Normal 36
23	HTTPWax	128	128	2	S.A.	TCP	192.168.2.113	192.168.5.122	80	6/14/2010 17:23	Attack 32
24	HTTPWax	148	128	2	S.A.	TCP	192.168.2.115	192.168.5.122	80	6/14/2010 17:42	Attack 33
25	HTTPWax	118	767	12	S.A.	TCP	192.168.2.113	192.168.5.122	80	6/14/2010 17:28	Attack 34

Gambar 5. Hasil Perhitungan Paket Data Dominan Pengujian Menggunakan Snort

Sebagai dasar untuk memvalidasi apakah benar hasil dari pengenalan pola dari program diatas adalah serangan DoS, maka akan dibandingkan dengan hasil dari engine IDS yang dapat membedakan antara paket data normal dan paket data serangan DoS. Berikut hasil pengujian :

TABLE II. JUMLAH ALERT TERDETEKSI PADA PENGUJIAN ISCX DATASET (14 JUNI 2010)

No.	Klasifikasi alert Terdeteksi	SID	Priority	Total
1	<i>Misc activity</i>	1:2925:3	3	18264
2	<i>Generic protocol command decode</i>	1:1748:8	3	7310
3	<i>Attempted adm privilege gain</i>	1:2546:14	1	3582
4	<i>Attempted information leak</i>	1:1201:13	2	770
5	<i>Access to potentially vulnerable web</i>	1:1721:18	2	284
6	<i>Attempted DoS</i>	1:2014384:8	2	42

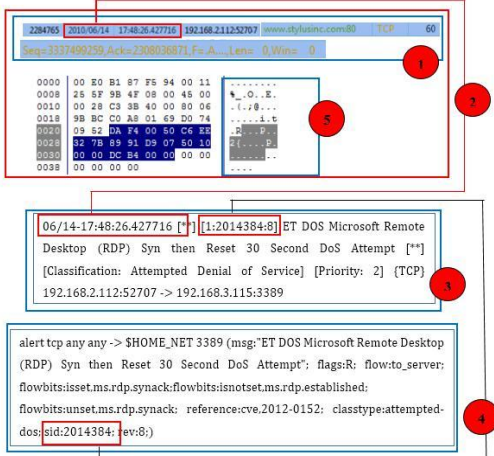
Prosiding
ANNUAL RESEARCH SEMINAR 2016

6 Desember 2016, Vol 2 No. 1

ISBN : 979-587-626-0 | UNSRI

<http://ars.ilkom.unsri.ac.id>

Berikut ekstraksi dan korelasi data hasil pengujian untuk dataset ISCX :



Gambar 6. Ekstraksi dan Korelasi Data Hasil Pengujian Snort Dataset ISCX

F. Pengujian Dataset menggunakan Algoritma *K-MeansClustering*

Pada tahapan pengujian menggunakan algoritma k-means clustering, dilakukan dua macam percobaan. Percobaan pertama dilakukan clustering dataset menggunakan program dengan bahasa pemrograman “python”. Sedangkan, pada tahapan pengujian kedua dataset dilakukan percobaan menggunakan tool yang sudah sering digunakan oleh para penelitian [11], [12] yaitu “WEKA”.

d) 1. Pengujian Dataset ISCX dengan Program *Clustering* menggunakan Algoritma *K-means*

a) Normalisasi data

Gambar 7. Paket Dataset ISCX 14 Juni.csv before- After Normalisasi

- b) Menentukan nilai dari k cluster, k cluster dalam
 - c) program *clustering* menggunakan *k-mean* ini terdiri dari dua k cluster yaitu *cluster attack* dan *cluster normal*.
 - d) Menentukan centroid awal, centroid awal pada program ini ditentukan secara acak dari hasil program sebelumnya yaitu program perhitungan paket data dominan.

Dataset	Sheet	Browse														
AppID	TaskSourceID	TaskIdentifier	TaskIdentifierB	TaskIdentifierC	Dev	Source	Target	Protocol	SourcePort	Destination	Port	StartTime	StopTime	Tag	Atribut	
HITTYPE_520	250	25	4	25	25	192.168.1.15	192.168.1.15	tcp	1549	152.168.1.22	62	14/20/2017 17:43	14/20/2017 18:43	Aleix	141	
HITTYPE_452	452	4	10	25	25	192.168.1.15	192.168.1.15	tcp	1753	152.168.1.22	62	14/20/2017 17:43	14/20/2017 18:43	Aleix	141	
HITTYPE_388	256	4	6	25	25	192.168.3.115	192.168.3.115	tcp	1572	152.168.3.22	62	14/20/2017 17:43	14/20/2017 18:43	Aleix	161	
HITTYPE_395	395	1	0	0	0	0	0	tcp	1572	152.168.3.22	62	14/20/2017 17:43	14/20/2017 18:43	Aleix	18	
HITTYPE_396	396	1	0	0	0	0	0	tcp	1572	152.168.3.22	62	14/20/2017 17:43	14/20/2017 18:43	Aleix	18	
HITTYPE_384	384	0	0	0	0	0	0	tcp	0	0	0	14/20/2017 20:37	14/20/2017 20:38	Nenad	73	
HITTYPE_324	258	4	5	25	25	192.168.1.21	192.168.1.21	tcp	2584	152.168.1.22	62	14/20/2017 17:43	14/20/2017 18:43	Aleix	141	
HITTYPE_392	252	256	4	25	25	192.168.3.21	192.168.3.21	tcp	2738	152.168.3.22	62	14/20/2017 17:43	14/20/2017 18:43	Aleix	70	
HITTYPE_740	740	10	10	25	25	192.168.1.15	192.168.1.15	tcp	1580	152.168.1.22	62	14/20/2017 17:43	14/20/2017 18:43	Aleix	141	
HITTYPE_736	736	10	10	25	25	192.168.1.15	192.168.1.15	tcp	1580	152.168.1.22	62	14/20/2017 17:43	14/20/2017 18:43	Aleix	141	
HITTYPE_1188	1188	18	13	25	25	192.168.1.15	192.168.1.15	tcp	1580	152.168.1.22	62	14/20/2017 17:43	14/20/2017 18:43	Aleix	141	
HITTYPE_120	120	14	1	2	0	0	0	tcp	0	0	0	14/20/2017 20:55	14/20/2017 20:59	Nenad	18	
HITTYPE_150	150	4	2	25	25	192.168.1.21	192.168.1.21	tcp	2493	152.168.1.22	62	14/20/2017 17:43	14/20/2017 18:43	Aleix	49	
HITTYPE_262	262	2	4	25	25	192.168.3.21	192.168.3.21	tcp	2845	152.168.3.22	62	14/20/2017 17:43	14/20/2017 18:43	Aleix	46	
HITTYPE_263	263	4	4	25	25	192.168.3.21	192.168.3.21	tcp	2845	152.168.3.22	62	14/20/2017 17:43	14/20/2017 18:43	Aleix	46	
HITTYPE_260	260	256	4	25	25	192.168.1.21	192.168.1.21	tcp	2493	152.168.1.22	62	14/20/2017 17:43	14/20/2017 18:43	Aleix	46	
HITTYPE_255	255	4	4	25	25	192.168.1.21	192.168.1.21	tcp	2493	152.168.1.22	62	14/20/2017 17:43	14/20/2017 18:43	Aleix	46	
HITTYPE_256	256	4	4	25	25	192.168.1.21	192.168.1.21	tcp	2493	152.168.1.22	62	14/20/2017 17:43	14/20/2017 18:43	Aleix	46	
HITTYPE_1040	1040	612	8	16	25	192.168.3.115	192.168.3.115	tcp	1647	152.168.3.22	62	14/20/2017 17:43	14/20/2017 18:43	Aleix	141	
HITTYPE_155	155	1	0	0	0	0	0	tcp	1558	152.168.1.22	62	14/20/2017 17:43	14/20/2017 18:43	Aleix	40	
HITTYPE_156	156	1	0	0	0	0	0	tcp	1558	152.168.1.22	62	14/20/2017 17:43	14/20/2017 18:43	Aleix	40	
HITTYPE_260	260	120	7	4	25	25	192.168.1.21	192.168.1.21	tcp	1582	152.168.1.22	62	14/20/2017 17:43	14/20/2017 18:43	Aleix	15
HITTYPE_322	322	395	6	15	25	192.168.3.115	192.168.3.115	tcp	1558	152.168.3.22	62	14/20/2017 17:43	14/20/2017 18:43	Aleix	18	
HITTYPE_126	126	120	12	12	0	0	0	tcp	0	0	0	14/20/2017 20:55	14/20/2017 20:59	Nenad	18	
HITTYPE_325	325	120	2	5	25	25	192.168.3.115	192.168.3.115	tcp	1564	152.168.3.22	62	14/20/2017 17:43	14/20/2017 18:43	Aleix	35
HITTYPE_474	474	120	0	0	0	0	0	tcp	60540	152.168.3.22	62	14/20/2017 17:43	14/20/2017 18:43	Aleix	35	

Gambar 9. Pola Paket Dataset ISCX 14

- e) Menghitung jarak paket data ke *centroid* menggunakan rumus *Euclidean distance* [9], [10].

$$d(x, y) = |x - y| = \sqrt{\sum_{i=1}^n (x_i - y_i)^2} \quad (1)$$

Dari perhitungan menggunakan rumus diatas maka didapatkan hasil jarak setiap paket ke centroid :

[97, 419, 1, 1, 53]
[544, 1860852177748, 334.64757581670898, 477.04402312574882]
[84, 149, 1, 1, 53]
[188, 106, 1, 1, 53]
[188, 107, 1, 1, 53]
[441, 96379942253191, 178.44887222955487, 388.94472615013046]
[95, 158, 1, 1, 53]
[437, 0532743538531, 169.8940846527624, 381.18994548057151]
[192, 585131082733, 2160.3742731295429, 2058.7236337109457]
[99, 309, 1, 1, 53]
[247, 24933826328431, 243.70423035384005, 417.30923785065324]
[78, 596, 1, 1, 53]
[191, 104169984997, 502.87374160916374, 613.67255112152441]
[191, 291, 1, 1, 53]
[431, 3386140410911, 236.36624124438751, 417.15584617742087]
[1305, 1716, 5, 5, 80]
[1657, 6594945886719, 1900.9941235629976, 1792.2904340535883]
[1305, 1716, 5, 5, 80]
[433, 52847241162071, 182.17573932881405, 388.47136316593532]
[128, 64, 1, 2, 80]
[436, 54667502587167, 146.72763884149435, 351.90481667632798]
[128, 64, 2, 2, 80]
[124, 4176045000000, 132.015150645674, 346.02001058301963]
[128, 64, 1, 2, 80]
[436, 54667502587167, 146.72763884149435, 351.90481667632798]
[1884, 43795, 35, 28, 80]
[437, 60604238049427, 131.46666666666667, 207027451994, 43689.774753367637]
[1884, 43795, 35, 28, 80]
[5794, 432193154875, 5946.33659490482087, 5925.59515998818227]
[892, 7461, 8, 13, 80]
[7214, 59778909996361, 7300.1936115838689, 7344.9088489919332]
[157194, 39476648014, 157194, 157194, 157194, 101, 88]
[157064, 39476648014, 748659, 157205.07015360543, 157194.39476648014]
[288, 0, 3, 137]
[350, 21422015674921, 142.94754282663011, 232.93346689559232]
[312, 4395, 32, 19, 80]
[88, 102310, 90, 111, 80]
[102310, 9022898727, 102443.68679425785, 102438.969932417955]

Gambar 10. Hasil Perhitungan Jarak Antar Paket di Dataset ISCX 14 Juni

Prosiding
ANNUAL RESEARCH SEMINAR 2016

6 Desember 2016, Vol 2 No. 1

ISBN : 979-587-626-0 | UNSRI

<http://ars.ilkom.unsri.ac.id>

6. *Clustering* paket data kedalam *cluster* berdasarkan jarak minimum sampai tidak ada perubahan / perpindahan *cluster*.

TABLE III. HASIL PERHITUNGAN CLUSTERING MENGGUNAKAN ALGORITMA K-MEANS

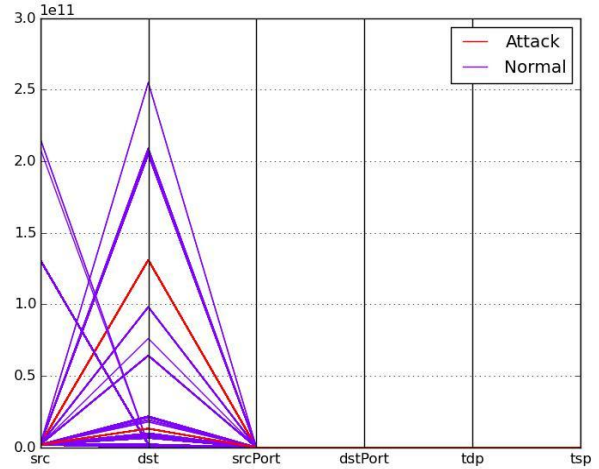
Total paket <i>cluster attack</i>	Total paket <i>cluster α \overline{normal} χ</i>	Iterasi (1)	Centroid akhir normal (1)	Centroid akhir attack
1830	171338	0	[6139.0, 36110.0, 33.0, 22.0, 1591.0]	[260.0, 128.0, 2.0, 3.0, 80.0]
1830	171338	1		

TABLE IV. PERHITUNGAN CONFUSION MATRIX PEMROGRAMAN K-MEANS

Jenis Paket	Jumlah Paket	Accuracy %	Detection %	False Alarm %
TN	167611	97,83	98,36	0,02
FP	30			
FN	3727			
TP	1800			

Tingkat akurasi dari program clustering menggunakan algoritma k-means dilihat dari tabel 6 sebesar 97,83%, untuk detection rate nya sebesar 98,63%, sedangkan hasil perhitungan confusion matrix untuk false alarm dari program sebesar 0,02%. Setelah di lakukan validasi terhadap program clustering menggunakan perhitungan confusion matrix, selanjutnya hasil dari clustering akan di visualisasikan

berdasarkan cluster attack dan cluster normal. Berikut bentuk dari visualisasi nya :



Gambar 13. Visualisasi Paket Data *Attack* dan Normal Dataset ISCX 14 Juni

d) 2. Pengujian Dataset menggunakan Algoritma *K-Means Clustering* dengan “WEKA”

Hasil pengujian dataset ISCX pada gambar 17 menunjukan bahwa total paket data di *cluster* 0 sebanyak 46865 baris, sedangkan paket data yang terdapat di nilai *centroid* 1 sebanyak 124515 baris dari total paket data 171380 baris.

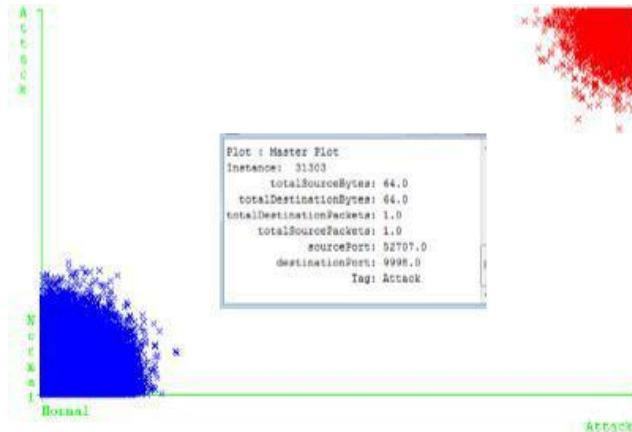
Cluster centroids:			
Attribute	Full Data (171380)	Cluster# 0 (46865)	1 (124515)
totalSourceBytes	6138.3333	1131.779	2022.702
totalDestinationBytes	36101.2623	15057.9961	44021.5344
totalDestinationPackets	33.5128	16.3048	39.9895
totalSourcePackets	22.6589	10.9401	27.0421
sourcePort	18801.2299	53183.9416	5860.2526
destinationPort	1638.6761	3356.1818	992.2407

Gambar 14. Pengolahan Dataset ISCX dengan WEKA

Prosiding
ANNUAL RESEARCH SEMINAR 2016
6 Desember 2016, Vol 2 No. 1

ISBN : 979-587-626-0 | UNSRI

<http://ars.ilkom.unsri.ac.id>



Gambar 15. Visualisasi Serangan DoS dengan *Clustering* menggunakan algoritma *K-means* DatasetISCX dengan WEKA

Hasil akhir *clustering* pada gambar diatas menggambarkan setiap paket pada dataset, dimana bentuk visual normal dan *attack* ditampilkan berdasarkan sumbu x dan sumbu y yangdigunakan. Berikut hasil perhitungan *confusion matrix* dari *clustering* menggunakan algoritma *k-means* yang terdeteksiuntuk setiap *cluster*.

TABLE V. PERHITUNGAN CONFUSION MATRIX TOOL WEKA

Jenis Paket	Jumlah Paket	Accuracy %	Detection %	False Alarm %
TN	53907	99,69	99,01	3,70
FP	20			
FN	151			
TP	2010			

IV. KESIMPULAN DAN SARAN

2.1. Kesimpulan

Serangan *Denial of Service* di dataset *ISCX* memiliki pola sebagai berikut : banyaknya *IP host* yang hanya meng-*exploit* ke satu *IP server*, *HTTP request* dibanjiri melalui port 80, ukuran *window* dan *packet length* yang tetap selama serangan, flags dalam protokol TCP dimanipulasi hanya melakukan *SYN* dan *ACK*, *port numbers* secara acak dari jumlah paket palsu. Sedangkan, paket normal membentuk

pola yaitu : banyaknya satu *source* ke banyak *destination*, banyak *source* ke satu *destination* dan satu *source* ke satu *destination*. Persentasiakurasi dari program *clustering* menggunakan algoritma *k-means* sebesar 97,83%, untuk *detection rate* nya sebesar 98,63%, dan hasil perhitungan *confusion matrix* untuk false *alarm* dari program sebesar 0,02%. Nilai persentase akurasidari *clustering* menggunakan algoritma *k-means* dengan *toolWEKA* yang dihitung menggunakan *confusion matrix* menghasilkan nilai *accuracy* 99,69%, *detection rate* 99,01% dan *false alarm* sebesar 3,70%.

B. Saran

Pada penelitian lanjutan, ada baiknya mencoba untuk melakukan visualisasi menggunakan dataset dengan topologi sendiri dan secara *real-time*.

REFERENSI

1. J. J. Siregar, "Web Denial Of Service Attack," no. 9, pp. 1199–1205.
2. Y.-J. Yang and Y.-H. Liu, "A DoS Attack Situation Visualization Method Based on Parallel Coordinates," 2012 IEEE 12th Int. Conf. Comput. Inf. Technol., pp. 340–344, 2012.
3. H. Choi, H. Lee, and H. Kim, "Fast detection and visualization of network attacks on parallel coordinates," Comput. Secur., vol. 28, no. 5, pp. 276–288, 2009.
4. H. Kim, I. Kang, and S. Bahk, "Real-time visualization of network attacks on high-speed links," IEEE Netw., vol. 18, no. 5, pp. 30–39, 2004.
5. H. Kim, I. Lee, J. Cho, and J. Moon, "Visualization of Network Components for Attack Analysis," 2009.
6. P. A. R. Kumar and S. Selvakumar, "Distributed denial of service attack detection using an ensemble of neural classifier," Comput. Commun., vol. 34, no. 11, pp. 1328–1341, 2011.
7. M. Kale, "DDOS Attack Detection Based on an Ensemble of Neural Classifier," vol. 14, no. 7, pp. 122–129, 2014.
8. R. F. Malik and V. Puspita, "Classification Denial Of Service (DoS) Attack Using Artificial Neural Network Learning Vector," no. August, pp. 20–21, 2014.
9. B. Santoso, "Data Mining: Teknik Pemanfaatan Data untuk Keperluan Bisnis," Yogyakarta: Graha Ilmu, 2007.
10. K. Sholeh, B. D. Setiawan, and I. Cholissodin, "Implementasi Metode K-Means Clustering untuk Pembangkitan Aturan Fuzzy pada Klasifikasi Ketahanan Hidup Penderita Kanker Payudara," pp. 1–9.
11. N. Sharma, A. Bajpai, and R. Litoriya, "Comparison the various clustering algorithms of weka tools," vol. 2, no. 5, pp. 73–80, 2012.
12. S. Jain, "K-means Clustering Using WEKA Interface," 2010.